

## Störungen in der Strahldynamik

- Störungen in der Strahldynamik
  1. Dipol-Feldstörungen
  2. Quadrupol-Feldstörungen, Resonanzen, Stoppbänder
  3. Chromatizität

## Feldstörungen

Bisher Idealisierung durch

- perfekte Magnete,
- perfekt ausgerichtet (aligniert),
- perfekt senkrechte Ausrichtung von Quadrupolen,
- keine Feldabweichungen,
- keine Erdbewegungen.

Reale Situation durch

- Magnete mit (kleinen) Abweichungen vom Ideal,
- Ausrichtung bestenfalls auf  $\sim 100 \mu\text{m}$  genau,
- geringfügige Verdrehung der Quadrupole,
- Feldabweichungen & -fehler (Stromversorgung, etc.),
- Erdbewegung (Drift, Zivilisation, Gezeiten, Jahreszeiten, etc.).

Konsequenzen aus Abweichungen bei Ausrichtung

Z.B.: für Teilchen auf Sollorbit, d.h. Betatron-Oszillationen um  $x = 0$ ,

- perfekter Quadrupol:  $V(x, y) = gxy$
- reines Quadrupolfeld
- horizontale Verschiebung des Quadrupols um  $\delta x$ :  

$$V(x, y) \rightarrow V(x + \delta x, y) = g \cdot (x + \delta x) \cdot y = V(x, y) + (\delta x g) \cdot y$$
- Dipolfeldkomponente  $(\delta x g) \cdot y$  zusätzlich zu Quadrupolfeld

⇒ Ausrichtungsfehler → Multipol-Feldfehler

## Dipol-Feldstörungen und "Closed Orbit"

Zur Erinnerung: Bewegungs-DGL für Teilchen mit relativer Impulsabweichung  $\delta$ :  $u'' + K(s) \cdot u = \delta/\rho_0(s)$

Dipol-Feldfehler  $\Delta B/B \Leftrightarrow \Delta p/p \equiv \delta$  Impulsabweichung ( $pc = eB\rho$ )

→ Bewegungs-DGL unter Dipol-Feldfehler  $F(s)$ :

$$u'' + K(s) \cdot u = F(s)$$

$F(s)$  unabhängig von Koordinaten  $(x, y)$  und Impulsfehler  $\delta$   
 $F(s)$  periodisch, jedoch nicht mit Periode der Magnetzelle  
 $F(s)$ : max. Periode = ein Umlauf  $\mathcal{C}$  ( $\hat{=} 1$  Dipol-Feldfehler)

Allg. Lösung:  $u(s) = u_0 C(s) + u'_0 S(s) + \mathcal{F}(s)$  und  $\mathcal{F}(s) = \int_0^s F(\sigma) [S(s)C(\sigma) - S(\sigma)C(s)] d\sigma$   
 (vgl. Dispersionsrelation Folie 4.20)

$u(s)$  erfüllen Periodizitätsbedingung für vollständigen Umlauf  $\mathcal{C}$ :

$$u(s_0 + \mathcal{C}) = u(s_0) \quad \text{und} \quad u'(s_0 + \mathcal{C}) = u'(s_0)$$

$$\Rightarrow \begin{cases} \text{Bestimmungsbedingungen} \\ \text{für } u_0, u'_0: \end{cases} \quad \begin{aligned} u_0 C(s_0 + \mathcal{C}) + u'_0 S(s_0 + \mathcal{C}) + \mathcal{F}(s_0 + \mathcal{C}) &= u_0 C(s_0) + u'_0 S(s_0) + \mathcal{F}(s_0) \\ u_0 C'(s_0 + \mathcal{C}) + u'_0 S'(s_0 + \mathcal{C}) + \mathcal{F}'(s_0 + \mathcal{C}) &= u_0 C'(s_0) + u'_0 S'(s_0) + \mathcal{F}'(s_0) \end{aligned}$$

Wähle Startbedingungen für  $s_0$ , z.B.:

$$S'(s_0) = C(s_0) = 1, S(s_0) = C'(s_0) = 0, \mathcal{F}(s_0) = 0, \mathcal{F}'(s_0) = 0$$

nach einiger Rechnung und mit  $C_1 \equiv C(s_0 + \mathcal{C})$ ,  
 $S_1 \equiv S(s_0 + \mathcal{C})$ ,  $\mathcal{F}_1 \equiv \mathcal{F}(s_0 + \mathcal{C})$

$$\rightarrow u_0 = \frac{S_1 \cdot \mathcal{F}'_1 - (S'_1 - 1) \cdot \mathcal{F}_1}{(C_1 - 1) \cdot (S'_1 - 1) - C'_1 \cdot S_1}$$

**Lösung der Bewegungs-DGL mit Dipol-Feldstörungen (fortgesetzt):**

Betrachte Nenner von  $u_0 = \frac{S_1 \cdot \mathcal{F}'_1 - (S'_1 - 1) \cdot \mathcal{F}_1}{(C_1 - 1) \cdot (S'_1 - 1) - C'_1 \cdot S_1}$  mit Transportmatrix  $M_{\text{Umlauf}}$  für vollständigen Umlauf (s. 6.10)

$$\text{Nenner: } 1 + (C_1 S'_1 - S_1 C'_1) - (C_1 + S'_1) = 1 + \underbrace{\det M_{\text{Umlauf}}}_{=1} - \underbrace{\text{Tr } M_{\text{Umlauf}}}_{=2 \cos(2\pi Q)} = 4 \sin^2(\pi Q)$$

$$\text{Zähler: mit } \mathcal{F}(s) = \int_0^s F(\sigma) [S(s)C(\sigma) - S(\sigma)C(s)] d\sigma$$

$$\text{und } C_1 \equiv C(s_0 + \mathcal{C}) = \cos 2\pi Q + \alpha_0 \sin 2\pi Q \text{ und } S_1 \equiv S(s_0 + \mathcal{C}) = \beta_0 \sin 2\pi Q$$

folgt nach längerer Rechnung ( $\psi(s) = Q\varphi(s)$  und Betatronphase  $\varphi$ )

$$S_1 \cdot \mathcal{F}'_1 - (S'_1 - 1) \cdot \mathcal{F}_1 = 2\sqrt{\beta_0} \sin \pi Q \int_{s_0}^{s_0 + \mathcal{C}} \sqrt{\beta(\sigma)} F(\sigma) \cos(\psi(\sigma) - \psi_0 - \pi Q) d\sigma$$

"Closed Orbit" bzw. Referenzorbit

}  $\Rightarrow$

$$u_0(s) = \frac{\sqrt{\beta(s)}}{2 \sin \pi Q} \oint \sqrt{\beta(\sigma)} F(\sigma) \cos(|\psi(\sigma) - \psi(s)| - \pi Q) d\sigma$$

(NB: in dieser Darstellung unabhängig vom Startpunkt  $s$  der Integration)

Mit  $F(\sigma) = \frac{1}{\rho(\sigma)} \cdot \delta$  (NB:  $u(s) = D(s)\delta$ ) folgt die "Closed Orbit"-Dispersion:

$$D(s) \equiv \eta(s) = \frac{\sqrt{\beta(s)}}{2 \sin \pi Q} \oint \frac{\sqrt{\beta(\sigma)}}{\rho(\sigma)} \cos(|\psi(\sigma) - \psi(s)| - \pi Q) d\sigma$$

**Effekte durch Dipol-Feldstörung:**

Vereinfachung: Nur ein Feldfehler bei  $s_k$  im gesamten Magnetgitter, d.h.  $F(\sigma) = \theta_k \delta(\sigma - s_k)$

→ Kick (Winkelablenkung) im Orbit:  $\theta_k = \oint_s^{s+C} F(\sigma) d\sigma$

→ Referenzorbit für :

$s < s_k \rightarrow s + C$ : Kick bei  $\varphi(s_k)$

$s > s_k \rightarrow s + C$ : Kick bei  $2\pi - \varphi(s_k)$

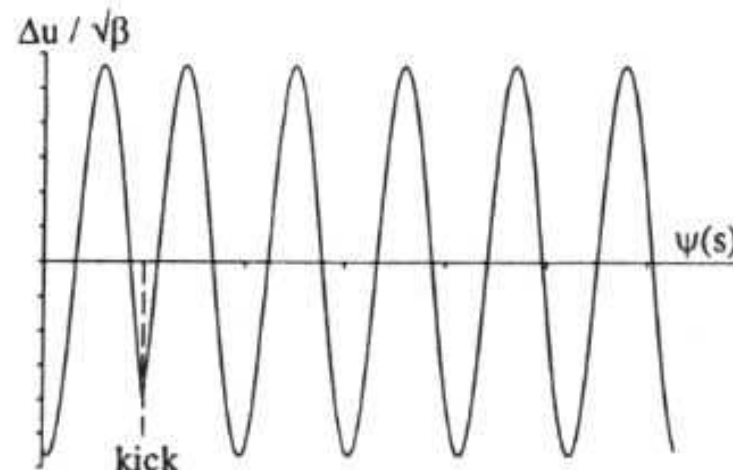
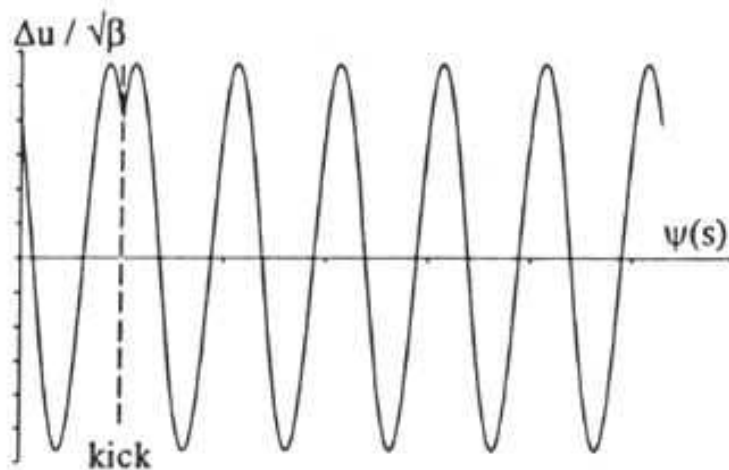
$$u_0(s) = \frac{1}{2} \sqrt{\beta(s)\beta(s_k)} \theta_k \frac{\cos Q [\pi - \varphi(s_k) + \varphi(s)]}{\sin \pi Q}$$

$$u_0(s) = \frac{1}{2} \sqrt{\beta(s)\beta(s_k)} \theta_k \frac{\cos Q [\pi - \varphi(s) + \varphi(s_k)]}{\sin \pi Q}$$

→ Symmetrie um Ort des Feldfehlers bei  $s_k$  mit Orbit:  $u_0(s_k) = \frac{1}{2} \beta(s_k) \theta_k \cot \pi Q$

Störung bei  $\text{mod}(Q, 1) > 0$

Störung bei  $\text{mod}(Q, 1) < 0$



**Fig. 7.3.** Distorted orbit due to a single dipole kick for a tune just above an integer (left) and for a tune below an integer (right)

## Orbitstörung und -korrektur

- gezielte Orbitstörung durch kurzen Dipol
- + Messung des Strahlposition am Ort der Störung:  $u_0(s_k)$
- + Bestimmung des Tunes  $Q$   
(Fourieranalyse der Strahloszillationen, gemessen mit Elektrode nahe Strahl)
- Betatron-Amplitude  $\beta(s_k)$  aus:  
$$u_0(s_k) = \frac{1}{2}\beta(s_k)\theta_k \cot \pi Q$$
- Beispiel: PEP-Beschleuniger mit Streuung der Magnetausrichtung von 0.05 mm in  $x$  und  $y$  (Fig. 7.2)
- Korrektur von Orbitstörungen durch drei bis vier Korrekturdipole
- erzeugen Strahlstörung entgegengesetzt zur Orbitstörung im Bereich der Korrekturmagnete
- Reduktion der Orbitstörungen
- starke harmonische Oszillation nahe der Betatron-Resonanz eliminiert ! (Fig. 7.4)

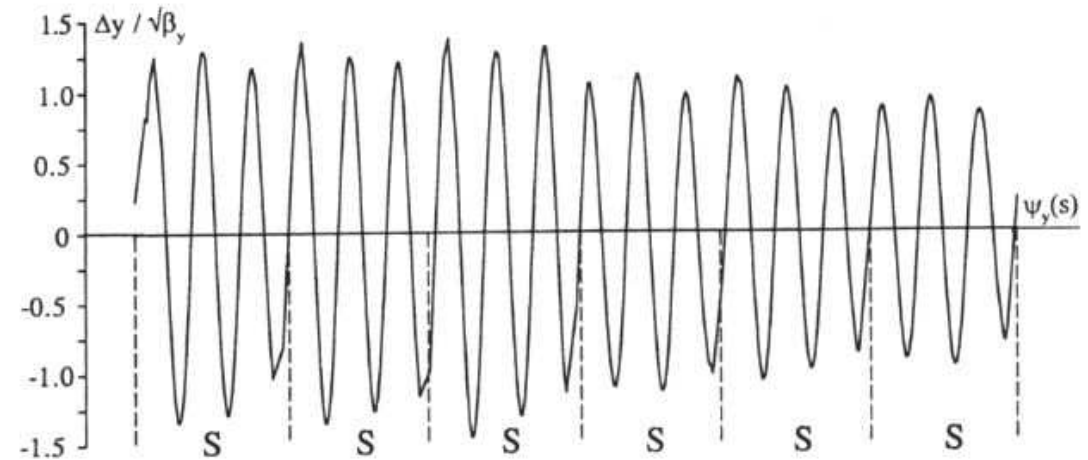


Fig. 7.2. Closed orbit distortion of Fig. 7.1 in normalized coordinates as a function of the betatron phase  $\varphi$

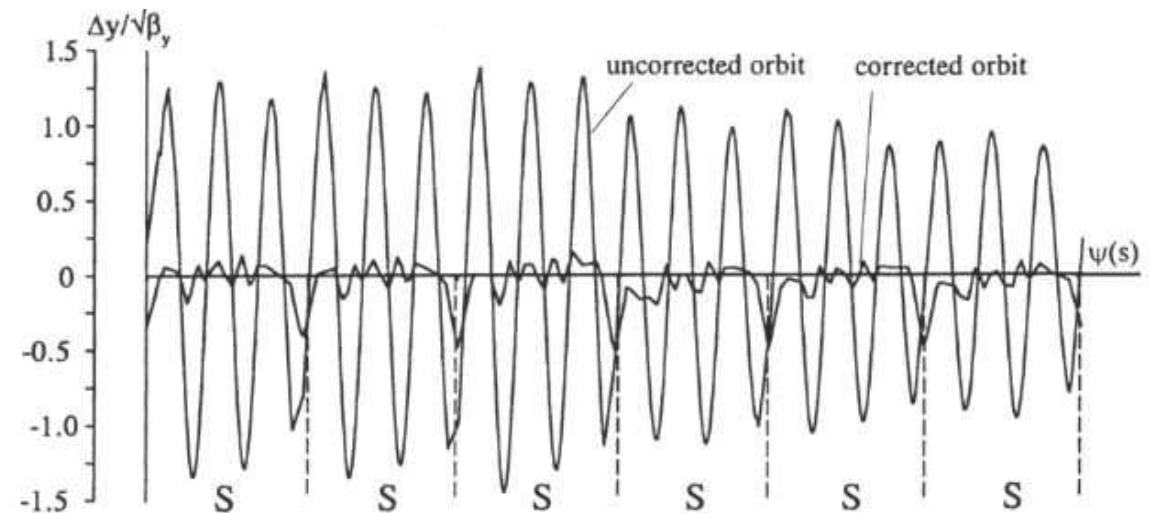
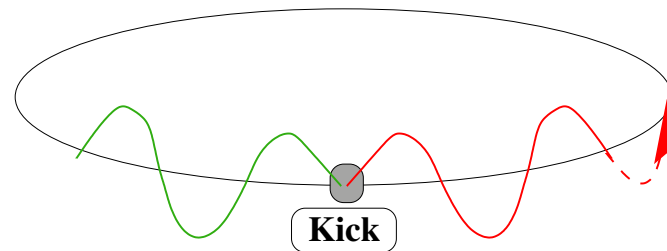


Fig. 7.4. Orbit of Fig. 7.2 before and after correction.

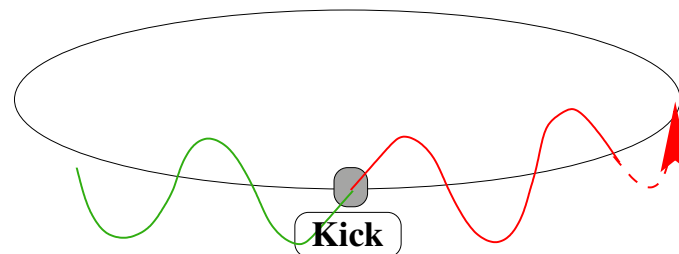
## Dipol-Feldstörungen und Betatron-Tune

**■**  $Q = N + 0.5$



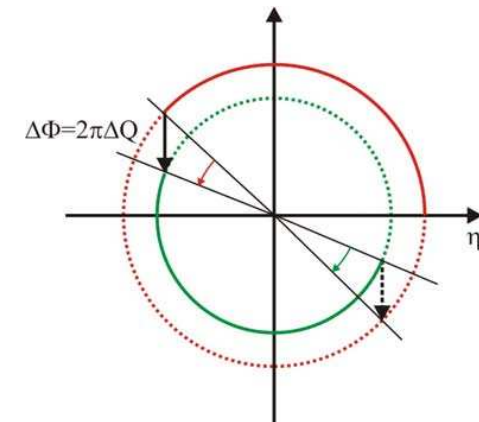
*the perturbation cancels  
after each turn*

**■**  $Q = N$



*the perturbation adds up*

- Betatron-Tune halbzahlig
- Orbit nach Umlauf um Referenzorbit gespiegelt
- erneute Störung kompensiert vorausgegangene

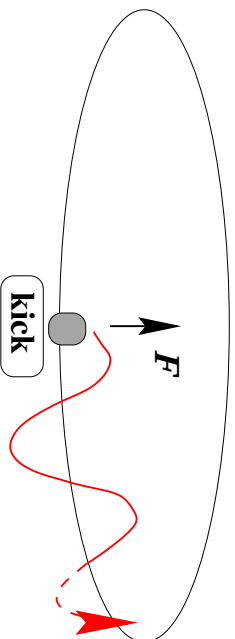


- Betatron-Tune ganzzahlig
- Orbit nach Umlauf in gleicher Phase
- erneute Störung addiert sich zu vorausgegangener

## Quadrupol-Feldstörungen, Resonanzen, Stoppbänder

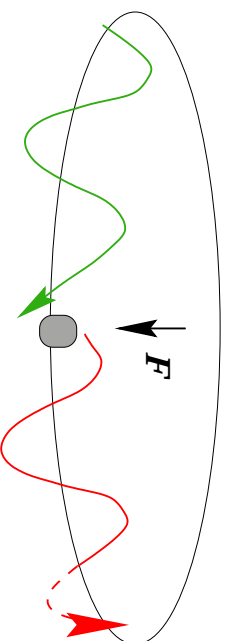
■  $Q = N + 0.5$

**1. Turn:  $x > 0$**



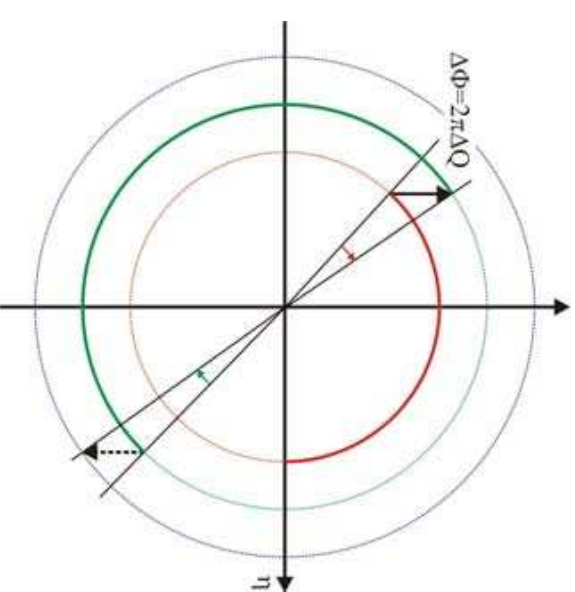
→ **amplitude increase**

**2. Turn:  $x < 0$**



→ **amplitude increase**

- Betatron-Tune halbzahlig
- Orbitkick  $\propto$  Strahloffset im Quadrupol
- erneute Störung addiert sich zu voraus-  
gegangener



für Quadrupolfehler  $k + \Delta k$  gilt:  
(Rechnung z.B. in H.Wiedemann)

$$\Delta\beta(s) = \frac{\sqrt{\beta(s)}}{2 \sin 2\pi Q} \oint \beta(\sigma) \Delta k(\sigma) \cos(2|\psi(\sigma) - \psi(s)| - 2\pi Q) d\sigma$$

Halbzahlige Tunes führen zur Modulation der Betatron-Amplitude, so gen. "betatron beating"

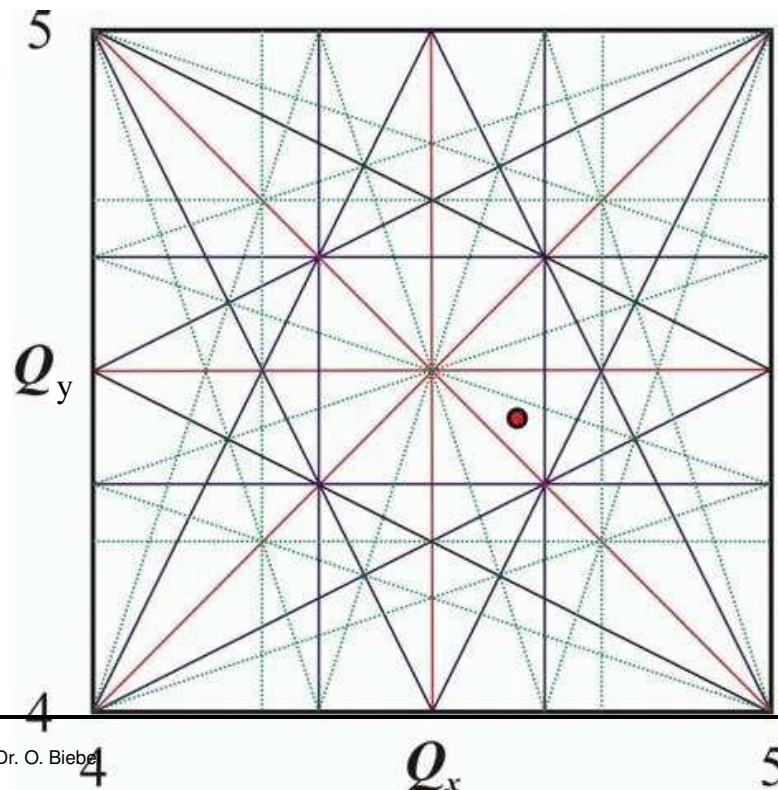


### Feldstörungen und Resonanzen

Generell gilt:

	Resonanztyp	treibender Multipol
Ganzzahlige (integer) Resonanz:	$Q = n$	Dipol-Feldfehler
Halbzahlige Resonanz:	$2 \cdot Q = n$	Quadrupol-Feldfehler
Drittelzahlige Resonanz:	$3 \cdot Q = n$	Sextupol-Feldfehler
$1/k$ -zahlige Resonanz:	$k \cdot Q = n$	$2k$ -pol-Feldfehler

→ Betatron-Tunes, die zu Resonanzen führen, müssen (in  $x$  und  $y$ ) vermieden werden !



- Kopplung der Betatron-Oszillationen in  $x$ - und  $y$ -Ebene
  - Resonanzkriterium:  $k \cdot Q_x + l \cdot Q_y = i \cdot N$
  - $|k| + |l|$  ist Ordnung der Resonanz
  - Resonanzdiagramm mit Linien für alle  $k, l, i \in \mathbb{Z}$
  - $N$  ist Superperiode des Magnetgitters (d.i. Anzahl gleichartiger Zellen im Magnetgitter)
  - Diagramm ( $N = 1$ ): Resonanzlinien  $|k| + |l| \leq 4$
  - Punkt: Tune für Beschleunigungsphase
- (Diagramm für ELSA-Beschleuniger, 3.5 GeV  $e^-$ , Uni Bonn)

### Superperiode $N$

Stabilitätsbereiche zwischen Resonanzen

$\propto$  Superperiode oder Symmetrie  $N$

d.h. große  $N \rightarrow$  größere Arbeitsbereiche !

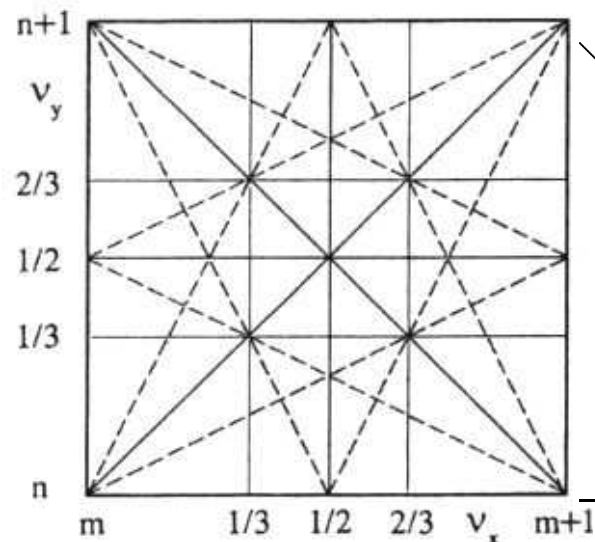


Fig. 7.5. Resonance diagram for a ring with superperiodicity one,  $N = 1$

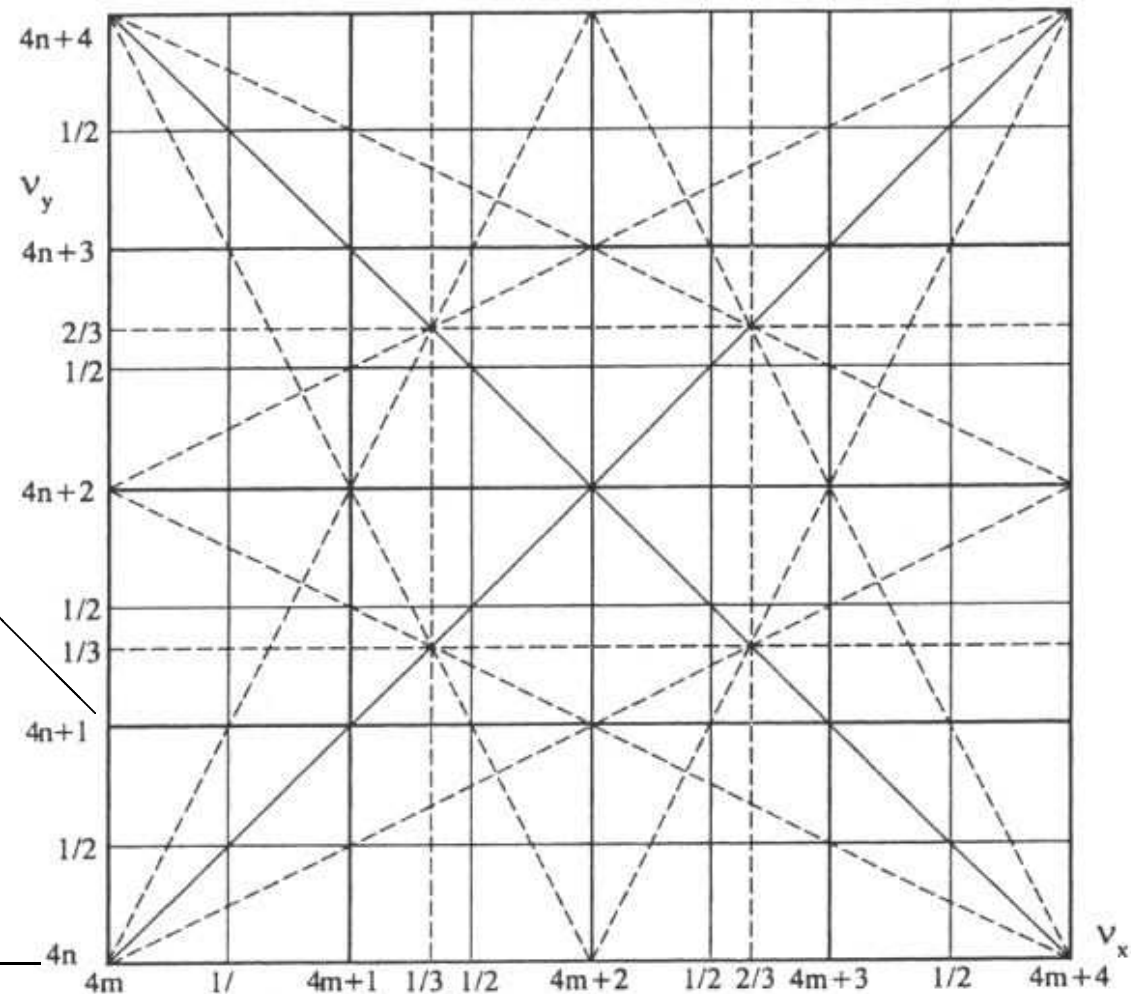


Fig. 7.6. Resonance diagram for a ring with superperiodicity four,  $N = 4$

### Stoppbänder:

Magnetfehler haben unterschiedliche Auswirkungen:

Dipolfehler → große Orbitkorrekturen nahe ganzzahligen Tunes  $Q$ :  $u_0 \propto 1/\sin(\pi Q)$

Quadrupolfehler → Modulation der Betatron-Amplitude (vgl. Folie 7.8):  $\Delta\beta \propto 1/\sin(2\pi Q)$

→ und zusätzlich zu *Tune-Verschiebung*  $\Delta Q$ :  $\Delta Q = \frac{1}{4\pi} \oint \beta(s) \Delta k(s) ds$

→ aus  $\cos 2\pi(Q + \Delta Q) = \cos 2\pi Q + Q \int_0^{2\pi} \beta^2(\chi) F(\chi) \cos(Q\chi) \sin Q(2\pi - \chi) d\chi$  (\*\*)  
(Rechnung in H.Wiedemann)

Sextupolfehler → ...  $\dots \propto 1/\sin(3\pi Q)$

- Resonanz für ganz-, halb-, drittel-, ...-zahlige Betatron-Tunes  $Q$

→ i.A. Strahlverlust (Strahlgröße > Apertur)

→ Resonanzen = Stoppllinien

- in Umgebungsnähe von ganz-, halb-, drittel-, ...-zahlige Betatron-Tunes  $Q$

→ i.A. Strahlverlust (mathematisch: keine Lösung für  $\cos 2\pi(Q + \Delta Q)$  in (\*\*)) falls  $\cos(2\pi Q) + \int d\chi > 1$ )

intuitiv:  $u_0, \Delta\beta, \dots$  werden groß bereits nahe der Resonanz

→ Stoppbänder um Resonanzlinien !

## Chromatizität

- Quadrupole fokussieren Teilchen mit  $\delta \equiv \Delta p/p \neq 0$  unterschiedlich

→ Betatron-Tune-Verschiebung: so gen. *Chromatizität*  $\xi$

$$\Delta Q_{x,y} = \xi_{x,y} \cdot \frac{\Delta p}{p_0}$$

- *natürliche Chromatizität* des Beschleunigers: Quadrupolstärke  $k$  skaliert mit Impuls:  $\Delta k = -k \frac{\Delta p}{p_0}$

→ Tune-Verschiebung (wie für Quadrupol-Feldfehler):

$$\Delta Q_{x,y} = \frac{1}{4\pi} \oint \beta_{x,y}(s) \Delta k(s) ds = - \underbrace{\frac{1}{4\pi} \int \beta_{x,y}(s) k_{x,y}(s) ds}_{\xi_{x,y}} \cdot \frac{\Delta p}{p_0}$$

→ natürliche Chromatizität:

$$\xi_{x,y} = - \underbrace{\frac{1}{4\pi} \int \beta_{x,y}(s) k_{x,y}(s) ds}_{\xi_{x,y}}$$

- ▷  $\xi$  ist immer negativ für lineare Magnetgitter (linear  $\hat{=}$  nur Dipole&Quadrupole), da Fokussierung für höher energetische Teilchen ( $\delta > 0$ ) geringer
- ▷  $\xi$  ist i.A. groß, z.B. für HERA-ep-Beschleuniger:  $\xi \approx -60$

**Chromatizität** (fortgesetzt):

Beispiel: natürliche Chromatizität einer FODO-Zelle:  $\xi_x = -\frac{1}{4\pi} \oint \beta_x k ds$

In der Näherung dünner Linsen:

- ▷  $\beta = \beta^+$  bzw.  $\beta^-$  im Zentrum des fokus. bzw. defokus. Quadrupols
- ▷  $k = k^+$  bzw.  $-k = k^-$  als Quadrupolstärke

$$\left. \vphantom{\int} \right\} \rightarrow \xi_x = -\frac{1}{4\pi} \left( \beta^+ \int k^+ ds + \beta^- \int k^- ds \right) = -\frac{\beta^+ - \beta^-}{4\pi} \int k ds$$

- ▷  $\beta^\pm = L\kappa(\kappa \pm 1)/\sqrt{\kappa^2 - 1}$  mit  $\kappa \equiv f/L$  (vgl. 6.4)
- ▷  $\int k ds = f^{-1} = 1/(\kappa L)$
- ▷  $\sin(\Psi/2) = 1/\kappa$  (vgl. Folie 6.5)

$$\left. \vphantom{\int} \right\} \rightarrow \xi_x = -\frac{1}{2\pi} \frac{1}{\sqrt{\kappa^2 - 1}} = -\frac{1}{2\pi} \tan(\Psi_x/2)$$

→ Natürl. Chromatizität je 90°-FODO-Zelle:  $-1/2\pi$   
 ( $1/2\pi$  je Zelle wenig, aber  $\sum$  über viele Zellen wird groß)

Messung der natürl. Chromatizität:

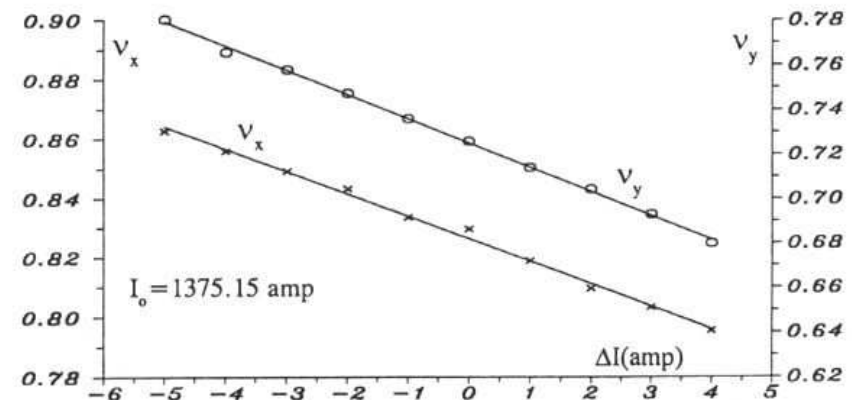


Fig. 7.9. Experimental determination of the natural chromaticity in a storage ring by measuring the tunes as a function of the excitation current  $I = I_0 + \Delta I$  in the bending magnets.

( $\nu_{x,y}$  in Abb.  $\hat{=}$  Betatron-Tune  $Q_{x,y}$ ,

Steigung der Geraden  $\hat{=}$  natürl. Chromatizität  $\xi_{x,y}$ )

**Chromatizität** (fortgesetzt):

- $\xi \gg 1$ : d.h. selbst für  $\delta \approx 10^{-3} \rightarrow \Delta Q \approx 1$
- Tune-Streuung erreicht Stoppband → Strahlverlust
- + so gen. "head-tail"-Instabilität (wg. Nichtlinearität)
- Korrektur der natürlichen Chromatizität: Sextupole
- **Chromatizität durch Sextupole:**

Teilchenstrahl auf Dispersionsorbit in Sextupol

$$\frac{e}{pc} \vec{B} = mxy\vec{e}_x + \frac{1}{2}m(x^2 - y^2)\vec{e}_y \quad (\text{nicht-linear!})$$

→ horizontale Verschiebung  $x = D \cdot \delta = D \cdot \frac{\Delta p}{p_0}$

→ Dispersionsabhängigkeit:

$$k_x = \frac{e}{pc} \cdot \frac{\partial B_y}{\partial x} = m \cdot x = m \cdot D \cdot \frac{\Delta p}{p_0}$$

$$k_y = \frac{e}{pc} \cdot \frac{\partial B_x}{\partial y} = m \cdot y = m \cdot D \cdot \frac{\Delta p}{p_0}$$

- Chromatizität (=  $\sum$  natürliche+Sextupol-Chromatizität):

$$\xi_{x,y} = -\frac{1}{4\pi} \int [k_{x,y}(s) - m(s)D(s)] \cdot \beta_{x,y}(s) ds$$

- ▷ Orte für Chromatizitätskorrektur (vgl. Fig.35):
- ◇ nahe Quadrupole, damit  $\Delta Q \ll 1$  bleibt
- ◇ wo Referenzorbit-Dispersion  $D(s) \neq 0$

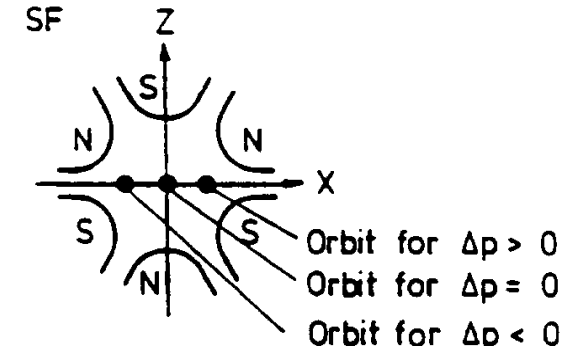
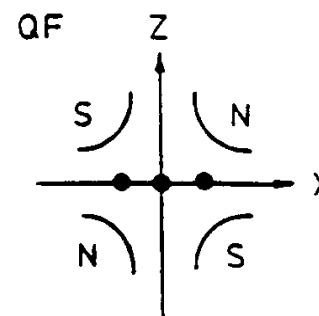
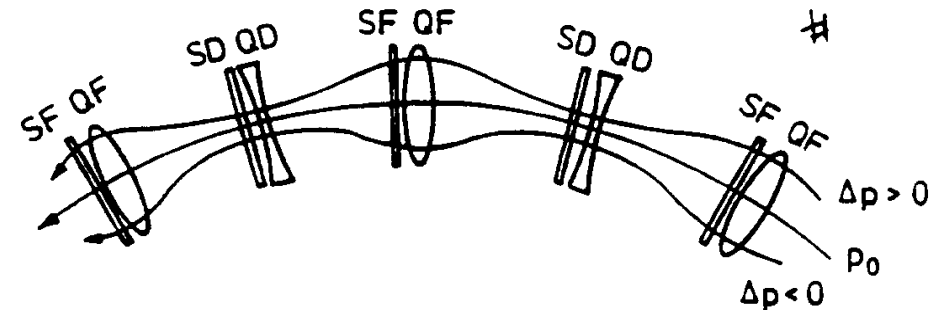
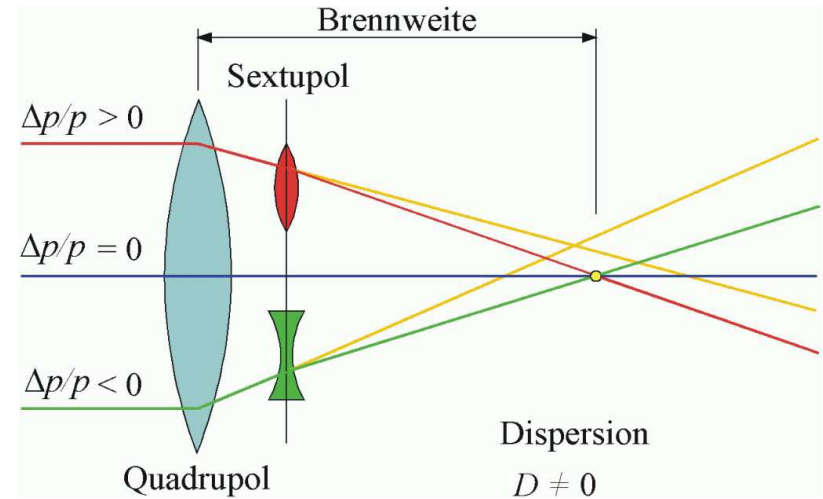


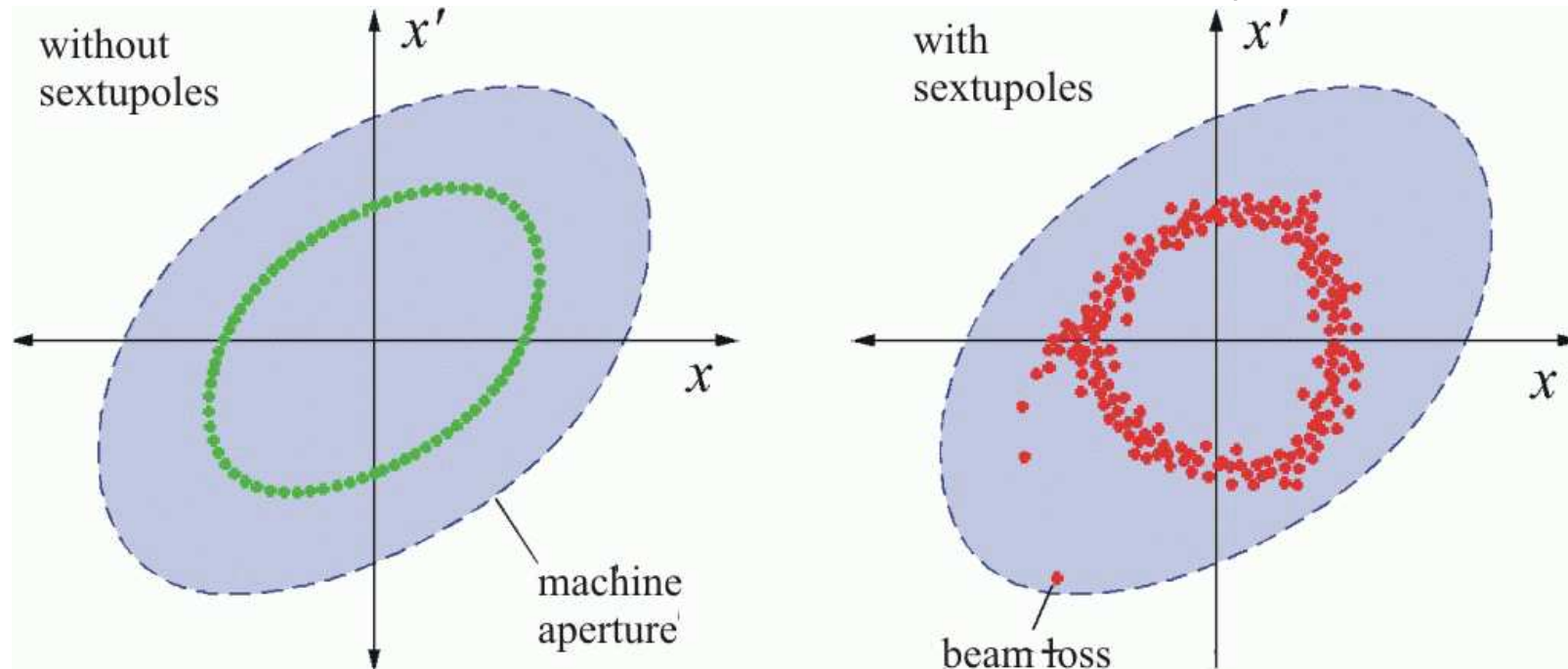
Figure 35: Dispersion trajectory in a sextupole magnet

## Chromatizität und dynamische Apertur:

Problem der Chromatizitätskorrektur durch Sextupole:

- Nicht-Linearitäten, da  $\frac{e}{pc}\vec{B} = mxy\vec{e}_x + \frac{1}{2}m(x^2 - y^2)\vec{e}_y$

→ Chromatizitätskorrektur beeinflusst Strahlstabilität und maximale erforderliche Apertur (dynamische Apertur)



- Sextupole erzeugen nicht-lineare Resonanzen mit
- ▷ wachsenden Oszillationsamplituden
  - ▷ Detuning mit Amplitudenzunahme

- Untersuchung der Langzeitstabilität: Kombination von
  - ◇ klassische Mechanik
  - ◇ Chaostheorie

⇒ Behandlung nicht-linearer Beschleuniger mittels Computer-Modell

**Modell eines nicht-linearen Beschleunigers:** (Hamilton Funktion: Bewegung der Teilchen im Beschleuniger)

